

## Литература

- [1] Королев Ф. А., Баскакова З. А., Одинцов В. И. Опт. и спектр., 1975, 39, 60, 302.
- [2] Королев Ф. А., Вожник О. М., Одинцов В. И. Письма ЖТФ, 1976, 2, 224.
- [3] Одинцов В. И. Деп. ВИНИТИ № 2675—78 Деп., 1978.
- [4] Ахманов С. А. Изв. вузов СССР, Радиофизика, 1974, № 17, 541.
- [5] Старунов В. С., Фабелинский И. Л. УФН, 1969, 98, 441.
- [6] Ковалев В. И., Поповичев В. И., Рагульский В. В., Файзуллов Ф. С. В сб.: Квантовая электроника, 1972, вып. 7, 78.

Поступило в Редакцию 18 декабря 1981 г.  
В окончательной редакции 23 марта 1983 г.

УДК 533.9 : 546.21-128

Опт. и спектр., т. 57, в. 4, 1984

## ИЗМЕРЕНИЕ ДЛИНЫ ВОЛНЫ СИНГЛЕТ-ТРИПЛЕТНОГО ПЕРЕХОДА $1s3d^1D_2 - 1s3p^3P_0$ ОВII В ЛАЗЕРНОЙ ПЛАЗМЕ

Корухов В. В., Никулин Н. Г., Трошин Б. И.

В теоретических работах [1, 2] показано, что в условиях высокотемпературной плотной плазмы возможно изменение населенности уровней синглетной системы гелиеподобных ионов ряда элементов при включении вынуждающего поля на частотах синглет-тройных переходов с одинаковыми главными квантовыми числами. Для измерения длины волны синглет-тройного перехода на основе эффекта оптической передачи возбуждения между уровнями необходимо иметь перестраиваемый по частоте источник излучения в диапазоне длин волн вынуждающего поля с плотностью потока на уровне  $10^9$  Вт/см<sup>2</sup>. Согласно расчетным данным работы [3], длины волн переходов  $3^1D_2 - 3^3P_0, 1, 2$  ОВII примерно лежат в области генерации лазера на неодимовом стекле, что указывает на возможность постановки достаточно простого эксперимента с использованием одной лазерной системы как для создания плазмы, так и для проведения измерений.

В данной работе представлены экспериментальные зависимости отношений

$$\frac{I(1s^2 - 1s3p^1P_1)}{I(1s^2 - 1s2p^1P_1)} = \frac{I_3}{I_2}, \quad \frac{I(1s^2 - 1s4p^1P_1)}{I(1s^2 - 1s3p^1P_1)} = \frac{I_4}{I_3},$$

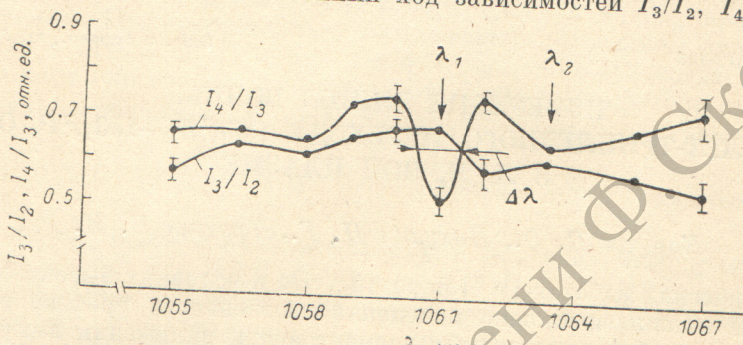
наблюдаемых интенсивностей излучения ( $I_2, I_3, I_4$ ) линий гелиеподобного иона кислорода от длины волны генерации лазерной системы. Немонотонный характер полученных зависимостей интерпретировался как прохождение резонансов синглет-тройных переходов и использовался в качестве репера для измерения длины волны.

Излучение мощной лазерной системы фокусировалось в вакуумную камеру на пластинку из  $\text{Al}_2\text{O}_3$ , спектр резонансных линий  $k$  — ионов кислорода детектировался на пленке типа УФ-ВР с помощью плоского кристалла КАР. Для получения одной реализации спектра проводилось около 15 «выстрелов», после каждого выстрела мишень смешалась в своей плоскости. Энергия излучения в экспериментах составляла  $\sim 1.5$  Дж, длительности импульса  $\sim 1.7$  нс. Длина волны задающего генератора лазерной системы настраивалась на ряд фиксированных значений в диапазоне 1055—1067 нм с точностью  $\pm 0.15$  нм по монохроматору МДР-2, прокалиброванному по спектру излучения неона. Каждая экспериментальная точка на рисунке соответствует обработке от трех до восьми реализаций.

Теория резонансного взаимодействия сильного поля с веществом предсказывает возникновение многих явлений [4, 5]. В рамках данной работы для интерпретации результатов мы используем простое представление об оптической

передаче возбуждения с триплетных уровней  $3^3P_{0, 1, 2}$  на синглетный  $3^1D_2$  в соответствии с результатами [1, 2]. Так как плотность потока излучения велика, область расстройки от центра линии, в которой происходит эффективное взаимодействие, может достигать нескольких нанометров. За счет большой частоты столкновений с электронами изменение населенности уровня  $3^1D_2$  передается практически мгновенно на уровень  $3^1P_1$ . Исходя из изложенного считалось, что прохождение резонанса при сканировании частоты генерации лазерной системы должно сопровождаться увеличением величины  $I_3/I_2$  и уменьшением  $I_4/I_3$ , причем область противофазного изменения  $I_3/I_2$ ,  $I_4/I_3$  может значительно превышать дошперовскую ширину перехода. Использование в качестве анализируемых данных относительных величин  $I_3/I_2$ ,  $I_4/I_3$  обеспечивало получение воспроизводимых результатов.

На рисунке представлены основные экспериментальные результаты. Обращает на себя внимание немонотонный ход зависимостей  $I_3/I_2$ ,  $I_4/I_3 = f(\lambda)$  со



Экспериментальные зависимости отношений наблюдаемых интенсивностей излучения ( $I_2$ ,  $I_3$ ,  $I_4$ ) резонансных линий OVII от длины волны генерации лазерной системы ( $\lambda$ ). Кривые получены по денситограммам, характеризующим свечение плазменного факела на расстоянии ~50 мкм от поверхности мишени.

степенью контрастности, превышающей экспериментальный разброс данных. С другой стороны, так как время жизни возбужденных уровней иона OVII весьма мало, то следует ожидать, что в пространственной области плазменного факела, где ионы появляются после окончания действия лазерного импульса, характер зависимостей существенно изменится. Действительно, на расстоянии от поверхности мишени, равном  $\sim 150$  мкм, степень контрастности сравнивается примерно с точностью измерений. Эти данные позволяют оценить также среднюю скорость ионов:  $\sim 10^7 \frac{\text{см}}{\text{с}} (\frac{1.5 \cdot 10^{-2} \text{ см}}{1.7 \cdot 10^{-9} \text{ с}})$ . Полученная величина совпадает с характерным значением скорости иона в условиях разлета лазерной плазмы в вакуум. Внешний вид кривых на рисунке показывает, что область немонотонного изменения  $I_3/I_2$ ,  $I_4/I_3 = f(\lambda)$  измеряется величинами на уровне единиц нанометров. При дошперовской ширине линии, равной  $\sim 0.1$  нм, это обстоятельство не противоречит полевым представлениям, используемым для интерпретации результатов в данной работе. По нашему мнению, длину волны  $\lambda_1 = 1061$  нм (см. рисунок) можно ориентировочно принять в качестве длины волны центра линии одного из переходов  $3^1D_2 - 3^3P_{0, 1, 2}$ . В рамках этих же представлений в окрестности длины волны  $\lambda_2 = 1063.5$  нм находится центр другого перехода. Кроме этого, известно из теоретических и экспериментальных данных [6], что длина волны перехода  $3^1D_2 - 3^3P_0$  короче длины волны перехода  $3^1D_2 - 3^3P_1$ , а энергетический зазор между уровнями  $3^3P_0$  и  $3^3P_1$  равен  $\sim 26 \text{ см}^{-1}$ . Таким образом, если принять  $\lambda_1 = 1061$  нм за длину волны центра линии перехода  $3^1D_2 - 3^3P_0$ , то в этом случае представленные и известные теоретические и экспериментальные данные лучшим образом согласуются между собой. И далее, выбирая в качестве абсолютной точности измерений ( $\lambda$ ) полуширину кривой  $I_4/I_3 = f(\lambda)$  в окрестности длины волны  $\lambda_1 = 1061$  нм, т. е. величину  $\Delta \lambda \approx \pm 0.5$  нм, мы можем определить длину волны перехода  $3^1D_2 - 3^3P_0$  значением  $1061 \pm 0.5$  нм. Экспериментальное значение абсолютной точности измерения длины волны примерно на два порядка меньше расчетного значения [3].

## Литература

- [1] Виноградов А. А., Скобелев И. Ю., Собельман И. И., Юков Е. А. Квант. электрон., 1975, т. 2, с. 2185.
- [2] Виноградов А. В., Скобелев И. Ю., Юков Е. А. Квант. электрон., 1976, т. 3, с. 894.
- [3] Вайнштейн Л. А., Сафонова У. И. — Препринт ИСАН СССР № 6, 1975.
- [4] Летохов В. С., Чеботаев В. П. Принципы нелинейной лазерной спектроскопии, М., 1974.
- [5] Раутлан С. Г., Смирнов Г. И., Шалагин А. М. Нелинейные резонансы в спектрах атомов и молекул. Новосибирск, 1979.
- [6] Jelly N. A. et al. — J. Phys. B, 1979, v. 12, N 16.

Поступило в Редакцию 21 апреля 1983 г.

УДК 535.375

Opt. и спектр., т. 57, в. 4, 1984

## СПЕКТРЫ ДЕПОЛЯРИЗОВАННОГО РЕЛЕЕВСКОГО И КОМБИНАЦИОННОГО РАССЕЯНИЯ СВЕТА В ОКРЕСТНОСТИ ОСОБОЙ ТОЧКИ РАСТВОРА $\beta$ -ПИКОЛИН—ВОДА

Зайцев Г. И., Казунина Г. А.

В последнее время резко возрос интерес к исследованию аномалий оптических и акустических свойств в растворах вблизи критических и особых точек, когда система становится термодинамически неустойчивой. В растворах с верхней критической точкой расслаивания наблюдалось значительное сужение линий деполяризованного релеевского [1] и комбинационного [2] рассеяния света, а также полос ИК поглощения [3]. Растворы с нижней критической точкой в этом отношении еще не изучались. Особый интерес вызывают жидкые смеси с особой точкой. Эти бинарные растворы не расслаиваются, но по многим свойствам напоминают расслаивающиеся. Так, в окрестности особой точки в них развиваются флуктуации концентрации, которые достигают такого же уровня, как и в расслаивающихся растворах вблизи критической точки. Это проявляется в возрастании интенсивности рассеянного света, нарушении симметричности индикаторы рассеяния [4] и своеобразной зависимости коэффициента поглощения и скорости распространения звука [5].

В данной работе экспериментально исследованы температурные зависимости ширины крыла линии Релея (КЛР) и деполяризованной линии комбинационного рассеяния света (ДЛКР)  $\nu=219 \text{ см}^{-1}$  в растворе  $\beta$ -пиколина—вода с концентрацией  $\beta$ -пиколина 0.06 мольных долей.

КЛР и ДЛКР  $\nu=219 \text{ см}^{-1}$   $\beta$ -пиколина регистрировались на дифракционном спектрометре ДФС-24 с аппаратной функцией, близкой к гауссовской, и линейной дисперсией  $4.5 \text{ \AA/mm}$ . Источником возбуждающего света служил гелий-неоновый лазер ЛГ-38 с мощностью излучения  $40 \pm 50 \text{ мВт}$ . Угол рассеяния составлял  $90^\circ$ , а плоскость поляризации возбуждающего света совпадала с плоскостью рассеяния. Это давало возможность выделить только деполяризованный часть рассеянного света. При достижении заданной температуры раствор перемешивался и выдерживался при ней в течение  $3 \pm 4 \text{ ч}$  с точностью  $\pm 0.05^\circ$ .

При всех исследованных температурах КЛР на участке  $\Delta\nu=3 \pm 25 \text{ см}^{-1}$  от несмещенной частоты разлагается на два лорентциана, что соответствует двум линейным участкам на графике зависимости обратной интенсивности  $1/I$  от  $(\Delta\nu)^2$ . Первый участок с полушириной  $\delta\nu_1$  расположен в интервале частот от 3 до  $8 \text{ см}^{-1}$ , а второй с полушириной  $\delta\nu_2$  — от 10 до  $25 \text{ см}^{-1}$ .

На рис. 1 приведены образцы записи контуров крыла линии Релея при температуре особой точки  $t_0=71.3^\circ\text{C}$ , а также ниже и выше этой точки в случае, когда регистрация спектра производилась со скоростью сканирования, обеспе-